

# بررسی عددی تاثیر درون‌لوله‌یی دوار دوپره‌یی بر عملکرد آبگرمکن گازی فوری

فاطمهه اقیمه‌ی مقدم (دانشجوی کارشناسی ارشد)

کوروش گودرزی\* (دانشیار)

غلامرضا زنده‌بودی (استادیار)

امین موسایی (استادیار)

گروه مهندسی مکانیک، دانشکده مهندسی، دانشگاه پاسج

مهمنسی مکانیک شریف، پذیرین (۱۳۹۷-۰۶-۰۶)، نسخه ۲، ص. ۳۴۳-۳۴۳، دوری ۳

در این پژوهش، اثر استفاده از درون‌لوله‌یی‌ها به عنوان یک روش غیرفعال افزایش انتقال حرارت، بر عملکرد آبگرمکن گازی فوری مورد بررسی قرار گرفته است. برای تحلیل و بررسی کارایی و تاثیر پارامتر هندسی درون‌لوله‌یی‌ها و پارامترهای فیزیکی جریان پایا و تراکم تاپذیر آب در آبگرمکن گازی، با استفاده از نرم‌افزار تجاری ANSYS CFX ۱۴ مدل سازی شده است. مدل توربو‌لانتسی تنش برشی انتقالی، برای رژیم جریان مشوش سیال استفاده شده است. با استفاده از نتایج مدل‌سازی، پارامترهای عملکردی مهم مانند ضریب اصطکاک، عدد ناسلت و ضریب عملکرد حرارتی محاسبه، و تجزیه و تحلیل شده است. تاثیر پارامترهای هندسی درون‌لوله‌یی از قبیل طول گام و زاویه‌ی پره بر عملکرد آبگرمکن گازی ارزیابی شده است. با مشاهده نتایج مقایسه‌ی آنها، درون‌لوله‌یی دوپره‌یی با زاویه‌ی پره ۵۵ و ۷۰ درجه با میانگین ضریب عملکرد حرارتی ۱۲۱۵ و ۱۹۳ بهترین عملکرد را در آبگرمکن گازی مورد مطالعه داشته است.

fatemeh.eghlimi@gmail.com  
kgoudarzi@yu.ac.ir  
zendehbudi@yahoo.com  
moosaie@yu.ac.ir

وازگان کلیدی: آبگرمکن گازی، انتقال حرارت، درون‌لوله‌یی دوار، ضریب اصطکاک، عدد ناسلت، ضریب عملکرد حرارتی.

## ۱. مقدمه

تأثیرگذاری و سودمندی هر یک از این روش‌ها شدیداً به نحوه انتقال حرارت، تک‌فاز بودن یا نبودن جریان، انتقال حرارت جابه‌جایی آزاد یا اجباری، جابه‌جایی اجباری جوشش یا میعان، نوع مبدل و فرایند کاربردی در آن مبدل‌های حرارتی بستگی دارد. به طور کلی روش‌های افزایش انتقال حرارت در جریان‌های آرام به دلیل این که ضریب انتقال حرارت معمولاً پایین است، از اهمیت سیار زیادی برخوردار است. بر همین اساس مغвшوش‌کننده‌ها به عنوان یکی از مهمترین و مؤثرترین روش‌های غیرفعال افزایش انتقال حرارت محسوب می‌شوند. این وسائل به طور غیرمستقیم، انرژی انتقالی از سطوح تبادل حرارت را با جابه‌جایی جریان از سطح کانال گرم یا سرد شده با حجم سیال جریان مرکزی، بهبود می‌دهند. افزایش در خاصیت آشفتگی و چرخش سیال مهمترین دلایل استفاده از مغвшوش‌کننده‌ها برای افزایش انتقال حرارت است. «مغвшوش‌کننده‌های دوار» نوع جدیدی از این مغвшوش‌کننده‌ها هستند که اولین بار توسط یانگ<sup>۱</sup> معرفی شد.<sup>[۲]</sup> این ابزار دارای چهار جزء اصلی شامل روتورها، سیم استیل، پین‌های اتصال حاشیه‌یی و پایه‌های ثابت هستند. روتورها اجزای تابعی هستند که تحت نیخ جریان جرمی مشخص برای بهبود انتقال حرارت و تمیزکاری خودکار رسوب‌ها به کار می‌روند. فنگ زیانگ<sup>۳</sup> و همکاران<sup>[۲]</sup> با بررسی آزمایشگاهی لوله‌یی مجهز به مغвшوش‌کننده‌ی دوار و لوله‌یی معمولی نشان دادند که

بررسی روش‌های افزایش انتقال حرارت در مبدل‌های حرارتی مورد استفاده در صنعت تبرید، خودرو، فرایندهای صنعتی، پتروشیمی و موارد دیگر به منظور افزایش راندمان، طی سالیان گذشته مورد توجه قرار گرفته است. روش‌های افزایش انتقال حرارت اساساً باعث کاهش مقاومت گرمایی در مبدل‌های حرارتی متداول، با افزایش ضریب انتقال حرارت می‌شوند. بنابراین اندازه‌ی مبدل حرارتی را می‌توان کاهش داد یا از اختلاف دمای لازم برای انتقال حرارت کاست. روش‌های افزایش انتقال حرارت را به طور کلی می‌توان به سه دسته‌ی فعال<sup>۱</sup>، غیرفعال<sup>۲</sup>، یا ترکیبی از این دو تقسیم‌بندی کرد.<sup>[۱]</sup> مشخصه و ویژگی اصلی روش‌های غیرفعال این است که برای افزایش انتقال حرارت به منع قدرت خارجی نیاز ندارند. در این روش‌ها معمولاً از اصلاحات سطحی یا هندسی در کانال‌های جریان، جا دادن مواد یا فنرهای خاص، یا اضافه کردن بعضی از وسائل خاص استفاده می‌شود. به استثناء سطوح توسعه یافته که سطح انتقال حرارت مؤثر آن افزایش یافته است، طرح‌های غیرفعال با آشفته کردن یا دگرگون ساختن رفتار جریان موجود، باعث افزایش ضریب انتقال حرارت می‌شوند.

\* نویسنده مسئول  
تاریخ: دریافت ۱۱/۱۱/۱۳۹۵، اصلاحیه ۱۱/۱۱/۱۳۹۵، پذیرش ۳/۲۹/۱۳۹۶.

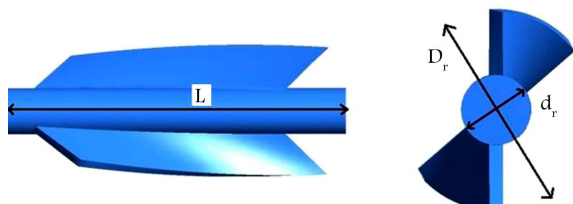
و ضریب اصطکاک و ضریب عملکرد حرارتی افزایش یافته‌اند. نتایج شبیه‌سازی آنها نشان می‌دهد که برای روتورهای با شکل مقطع مختلف، روتور با مقطع بیضوی نسبت به دیگر روتورها، دارای عدد ناسلت، ضریب اصطکاک و ضریب عملکرد حرارتی بیشتری است. برای روتورهای با تعداد تیغه‌های مختلف، با افزایش تعداد تیغه‌ها، عدد ناسلت و ضریب عملکرد حرارتی افزایش یافته‌اند.

زانگ و همکاران<sup>[۱]</sup> با مطالعه‌ی آزمایشگاهی مشخصه‌های انتقال حرارت و ضریب اصطکاک مربوط به جریان آب در رژیم جریان آشفته درون مبدل‌گرمایی پوسته و لوله نشان دادند که لوله‌ی دایروی مجهز به روتور مارپیچی پله‌دار<sup>(۱)</sup> (SLR) یکنواخت، روتور با مقاومت کم در مقابل جریان (LFR) یکنواخت و روتور ترکیبی از SLR و LFR را بررسی کردند. زانگ و همکاران<sup>[۱۰]</sup> به مرور و مقایسه‌ی مطالعات انجام شده در زمینه‌ی درون‌لوله‌ی های مارپیچی ساکن و دوار پرداختند. اگرچه کارهای آزمایشگاهی برای بهبود مشخصه‌های انتقال حرارت مربوط به دسته روتورهای رشتی<sup>[۱۵]</sup> زیاد بوده اما، مطالعات عددی انجام شده در این مورد اندک است. از طرفی تمکر مطالعات انجام شده در این زمینه بر تأثیر جایگذاری دسته روتورهای رشتی<sup>[۱۵]</sup> روی مبدل حرارتی پوسته و لوله بوده و در سایر مبدل‌های حرارتی بررسی نشده‌اند. بنابراین هدف از این مقاله مطالعه‌ی عددی سه بعدی مشخصه‌های ضریب اصطکاک و انتقال حرارت جریان آب درون لوله‌ی بیضوی مربوط به مبدل‌گرمایی در آبگرمکن گازی است که به روتورهای مارپیچی مجهز شده است.

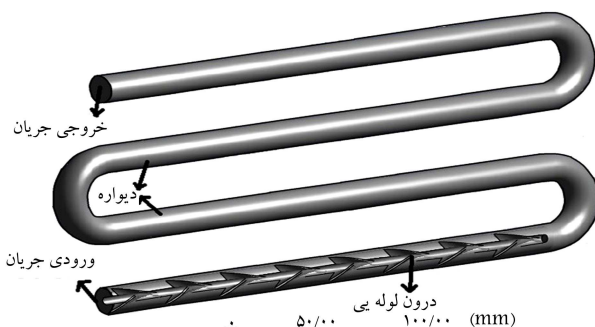
## ۲. مدل‌سازی عددی

### ۱.۲. مدل فیزیکی

مدل‌های فیزیکی مربوط به روتور تیغه‌ی مارپیچی دوپرهی و لوله‌ی آبگرمکن مجهز به آن در شکل‌های ۱ و ۲ نشان داده است. چنان که مشاهده می‌شود طول لوله  $1/376$  متر است و به مغشوش‌کننده مجهز شده و تحت مدل‌سازی قرار می‌گیرد. بعضی از پارامترهای هندسی مربوط به



شکل ۱. مدل فیزیکی مغشوش‌کننده‌ی دوپرهی.

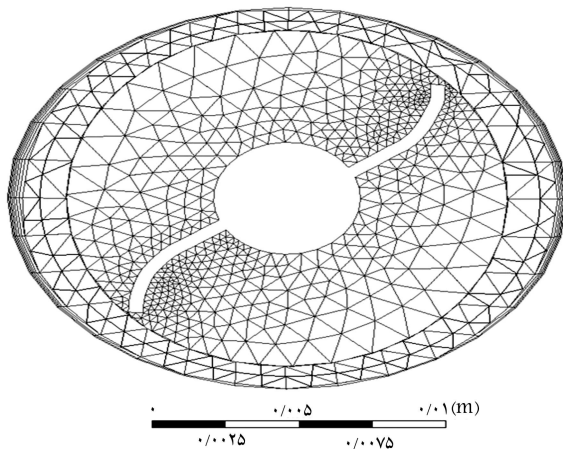


شکل ۲. مبدل‌گرمایی مجهز به درون‌لوله‌ی دوپرهی.

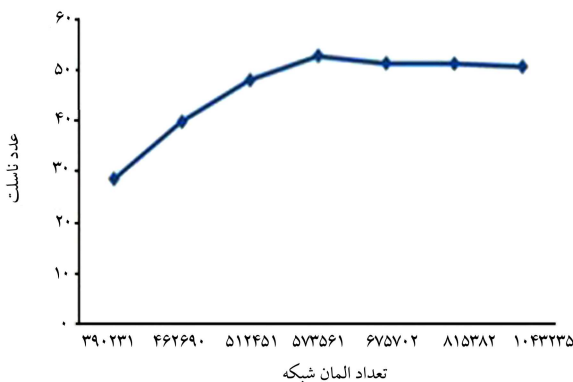
مغشوش‌کننده، ضریب انتقال حرارت کلی لوله و عدد ناسلت را بهبود بخشیده، به طوری که در محدوده‌ی اعداد رینولدز از  $21300$  تا  $55500$ ، عدد ناسلت به صورت  $11/87 - 9/764$  درصد و ضریب انتقال حرارت کلی به صورت  $7/49 - 8/08$  افزایش یافته است. زانگ<sup>[۵]</sup> و همکاران<sup>[۶]</sup> به صورت آزمایشگاهی به بررسی جریان آشفته در لوله‌ی مجهز به مغشوش‌کننده با هندسه‌ها و طول گام‌های مختلف در مبدل گرمایی دولوله‌ی پرداختند. آنها تأثیر طول گام روتور بر انتقال حرارت و اصطکاک را بررسی کردند. آزمایشات در اعداد رینولدز  $16800$  تا  $40400$  انجام شد. نتایج نشان داد که استفاده از مغشوش‌کننده در هندسه‌های مختلف باعث بهبود انتقال حرارت می‌شود؛ به طوری که عدد ناسلت  $1/23/1 - 71/5$  درصد و ضریب اصطکاک  $74/8 - 37/4$  درصد در مقایسه با لوله‌ی معمولی افزایش داشته است.

زانگ و همکاران<sup>[۶]</sup> با بررسی آزمایشگاهی مشخصه‌های ترموهیدرولیکی مربوط به لوله‌ی مجهز به روتورهای تیغه‌ی مارپیچی چپ به راست<sup>[۶]</sup>، تأثیر حالت‌های مختلف قرارگیری روتورهای تیغه‌ی مارپیچی چپ‌گرد به راست‌گرد را بر انتقال حرارت، ضریب اصطکاک و ضریب عملکرد حرارتی بررسی کردند. نتایج آزمایشگاهی آنها نشان داد که عدد ناسلت و ضریب اصطکاک مربوط به لوله‌ی مجهز به روتور به ترتیب  $1 - 182/2 - 77/9$  درصد و  $71/1 - 22/1$  درصد بزرگ‌تر از مقادیر مربوط به لوله‌ی معمولی است. لوله‌ی مجهز شده به روتورهای تیغه‌ی مارپیچی چپ به راست در عدد نسبت  $1$  به  $3$  بیشترین عدد ناسلت را نسبت به دیگر حالت‌ها داشته است. آزمایش در محدوده‌ی اعداد رینولدز  $2300$  تا  $3900$  انجام شده است. زانگ و همکاران<sup>[۶]</sup> با مطالعه‌ی آزمایشگاهی پارامترهای مربوط به انتقال حرارت و اصطکاک درون لوله‌ی مجهز به روتورهای تیغه‌ی مارپیچی دارای گودی،<sup>[۷]</sup> تأثیر فضای خالی بین روتورها، تعداد روتورها در هر گروه، و فاصله‌ی ورودی بر پارامترهای اصطکاکی و انتقال حرارت مربوط به جریان آب درون لوله‌ی مجهز به روتورهای تیغه‌ی مارپیچی دارای گودی را بررسی کردند. محدوده‌ی اعداد رینولدز آزمایش از  $16000$  تا  $36000$  است. نتایج نشان داده است که برای لوله‌ی مجهز به روتورهای تیغه‌ی مارپیچی دارای گودی، عدد ناسلت حدود  $22/4 - 22/1$  درصد و ضریب اصطکاک حدود  $57/4 - 16/9$  درصد افزایش داشته است. ضریب عملکرد حرارتی مربوط به روتورهای جایگذاری شده در لوله، بیش از  $1$  و بهبود انتقال حرارت به صورت تابعی از روتورها بوده است. مقایسه‌ی نتایج حالت‌های تجمعی مختلف نشان داده است که ضریب اصطکاک و عدد ناسلت، هر دو با کاهش فاصله بین روتورها در هر گروه و فاصله‌ی ورودی، افزایش یافته‌اند. ضریب عملکرد حرارتی با کاهش فاصله‌ی بین روتورها و فاصله‌ی ورودی، بهبود یافته است.

زانگ<sup>[۸]</sup> و همکاران<sup>[۷]</sup> به صورت آزمایشگاهی، مشخصه‌های جریان و انتقال حرارت آشفته را درون یک لوله‌ی دایروی مجهز به روتور مارپیچی پله‌دار<sup>(۹)</sup> (SSR) یکنواخت، روتور با مقاومت کم در مقابل جریان<sup>[۱۰]</sup> (LFR) را بررسی کردند. آب در مبدل‌گرمایی پوسته و لوله مورد آزمایش بوده، و عدد پرائل از  $77/6 - 77/15$  تا  $7/۰ - 7/۰$  و عدد رینولدز از  $150000$  تا  $37000$  متغیر بوده است. روتورهای ترکیبی در  $5$  عدد نسبت مختلف تحت آزمایش قرار گرفته‌اند. زانگ و همکاران<sup>[۱۱]</sup> به مطالعه‌ی عددی سه بعدی مشخصه‌های انتقال حرارت و ضریب اصطکاک مربوط به جریان آب در رژیم آشفته، مغشوش‌کننده‌ی دایروی مجهز به روتورهای مارپیچی پرداختند. آنها تأثیر شکل سطح مقطع و قطر محور و تعداد تیغه را بر بهبود عملکرد حرارتی و همچنین پارامترهای هندسی و ساختاری مربوط به تیغه‌های مارپیچی روتورها را بررسی کردند. شبیه‌سازی عددی با استفاده از مدل آشفتگی کلامپسیلوون<sup>[۱۲]</sup> نوع RNG در نرم‌افزار فلوئنت<sup>[۱۳]</sup> انجام شده است. در روتورهای با قطر محورهای مختلف، با افزایش قطر محور، عدد ناسلت



شکل ۳. شبکه‌ی مربوط به لوله‌ی مجهر به مغشوش‌کننده‌ی دوپره‌ی.



شکل ۴. نمودار همگرایی شبکه برای مبدل گرمایی آبگرمکن.

ریزتر شبکه می‌شود تا ناحیه‌های تنگ ایجاد شده توسط لبه‌های مغشوش‌کننده را بهتر نشان دهد. از سلول‌های شش‌وجهی<sup>۲۳</sup> در کنار دیوار و از سلول‌های چهاروجهی<sup>۲۴</sup> در قسمت‌های دیگر استفاده شده است؛ تعداد المان با توجه به ساختار مربوط به روتورها تغییر می‌کند. در شکل‌های ۳ و ۴ به ترتیب نمونه‌ی از شبکه‌ی ایجاد شده و تغییرات عدد ناسلت بر حسب اندازه شبکه نشان داده شده است. نتایج حاصل از بررسی اندازه شبکه نشان می‌دهد که برای شبکه‌های با تعداد المان بیش از ۶۷۵۷۰۲، مقادیر مربوط به عدد ناسلت اختلاف زیادی با هم ندارند. پس این شبکه به عنوان شبکه‌ی مناسب انتخاب شده است.

#### ۴. بحث در نتایج

ابتدا جریان در لوله ساده بدون مغشوش‌کننده مدل‌سازی شده، و عدد ناسلت و ضریب اصطکاک محاسبه می‌شود. این متغیرها به کمک توزیع دما و سرعت حاصله از تحلیل عددی به دست می‌آید. عدد ناسلت عبارت است از:

$$Nu = \frac{h D_{eq}}{\lambda} \quad (4)$$

ضریب اصطکاک نیز چنین محاسبه می‌شود:

$$f = \left( \frac{\Lambda \tau_{wall}}{\rho \bar{u}} \right)^{1/2} \quad (5)$$

$$f = \frac{\Delta P}{(L/D_{eq}) \rho u^2 / 2} \quad (6)$$

جدول ۱. پارامترهای هندسی روتورها.

D <sub>r</sub> (mm)	d <sub>r</sub> (mm)	P (mm)	L (mm)
۲۲	۵	۲۰۰	۳۶

روتورهای نیمه‌ی مارپیچی در مدل‌سازی عددی در جدول ۱ آمده است: D<sub>r</sub> قطر روتور، d<sub>r</sub> قطر محور مرکزی و P طول گام روتور (به معنای طول محور روتور در هر پیچ)، و L طول یک عدد روتور است.

#### ۲.۲. روش عددی

مدل‌سازی عددی در نرم‌افزار ANSYS CFX ۱۶<sup>۱۶</sup> انجام شده است. در این تحقیق برای این که روتورها آزادانه بچرخدند و در سیال مورد نظر غوطه‌ور باشند، جنس روتورها از پلاستیک پلیکربنات<sup>۱۷</sup> انتخاب شده است که چگالی آن تقریباً برابر آب است. مغشوش‌کننده‌ی دوار به صورت یک جسم صلب ساخته شده از صفحات در نظر گرفته شده که دارای یک درجه آزادی چرخش حول محور مرکزی است. برای کنترل حرکت جسم صلب از روش انتگرالی سیمووانگ<sup>۱۸</sup> استفاده شده است. المان‌های سیال اطراف مغشوش‌کننده متناسب با حرکت آن می‌چرخدند. اطراف مغشوش‌کننده یک زیر دامنه در نظر گرفته شده که حرکت آن متناسب با حرکت مغشوش‌کننده است. از روش عددی حجم محدود در این مدل‌سازی استفاده شده است.

#### ۳.۲. معادلات حاکم

برای جریان آشفته تراکم ناپذیر دائمی، معادلات ساختاری سه بعدی مربوط به پیوستگی، مومنتوم و انرژی در دامنه محاسباتی به صورت زیر است:

$$\frac{\partial(\bar{u}_i)}{\partial x_i} = 0 \quad (1)$$

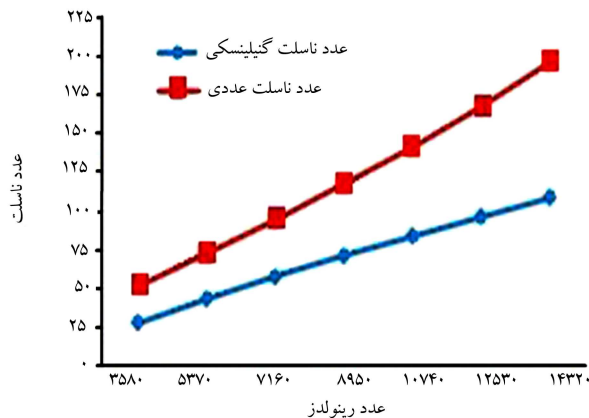
$$\rho \left( \frac{\partial \bar{u}_i}{\partial t} + \bar{u}_j \frac{\partial \bar{u}_i}{\partial x_j} \right) = \frac{\partial \bar{p}}{\partial x_i} + \frac{\partial}{\partial x_j} \left( \mu \frac{\partial \bar{u}_i}{\partial x_j} - \rho \bar{u}_i' \bar{u}_j' \right) \quad (2)$$

$$\rho \left( \frac{\partial \bar{T}}{\partial t} + \frac{\partial(\bar{u}_i T)}{\partial x_i} \right) = \frac{\partial}{\partial x_i} \left( c_p \frac{\partial \bar{T}}{\partial x_i} \right) \quad (3)$$

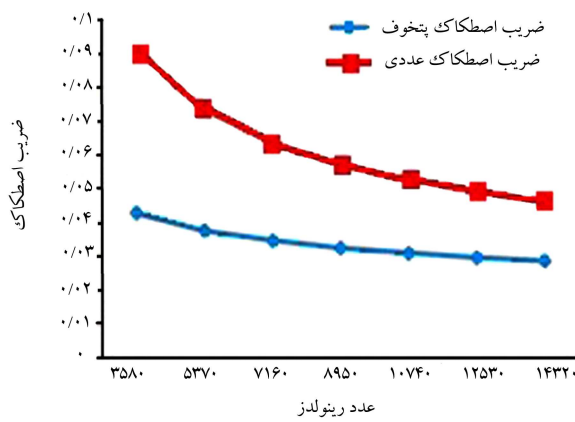
از مدل آشفتگی SST<sup>۱۹</sup> و توابع دیوار خودکار برای مدل کردن جریان آشفته کنار دیوار استفاده شده است. از روش سیمپل و فشار استاندارد و روش گسترش‌سازی دقت بالا<sup>۲۰</sup> برای مومنتوم و انرژی استفاده شده است. همچنین ملاک همگرایی برای همه‌ی متغیرهای محاسباتی به جز انرژی و مومنتوم زاویه‌ی ۱۰<sup>-۳</sup> است. ملاک همگرایی برای انرژی و معادله مومنتوم زاویه‌ی جسم صلب مقدار ۱۰<sup>-۴</sup> در نظر گرفته شده است. سطح دیواره‌ی مبدل حرارتی آبگرمکن از جنس مس دارای شرط مرزی عدم لغزش و شار گرمایی ثابت ۱۲۸۰۰۰ وات بر متر مربع است. سطوح مربوط به درون لوله‌ی به صورت آدیباتیک در نظر گرفته شده و رسانایی در طول درون لوله‌ی قابل صرف‌نظر است. در قسمت ورودی مبدل حرارتی آبگرمکن، شرط مرزی ورودی<sup>۲۱</sup> با دمای ورودی ۲۹۸ کلوین و سرعت ۰/۲ متر بر ثانیه و برای شرط مرزی خروجی<sup>۲۲</sup> دمای جرمی به میزان ۵۰/۰ تا ۰/۲ کیلوگرم بر ثانیه قرار داده شده است.

#### ۳. استقلال از شبکه

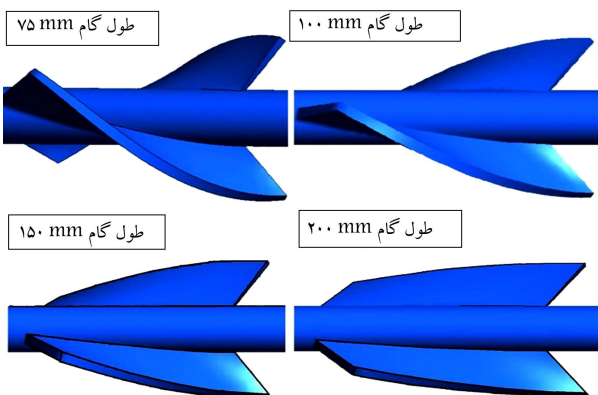
دامنه‌ی فیزیکی جریان با نرم‌افزار ANSYS CFX شبکه شده است. ناحیه‌های نزدیک دیواره‌ی لوله و به خصوص در نزدیکی دیواره‌ی مغشوش‌کننده، به صورت



شکل ۵. نمودار عدد نسلت لوله‌ی مارپیچ آبگرمکن و مقایسه با رابطه‌ی گنیلینسکی.



شکل ۶. نمودار ضریب اصطکاک لوله‌ی مارپیچ آبگرمکن و مقایسه با رابطه‌ی پتخوف.



شکل ۷. درون‌لوله‌ی دوپره‌ی در طول گام‌های مختلف.

عدد رینولدز مشخص، با کاهش طول گام از ۲۰۰ تا ۷۵ میلی‌متر، عدد نسلت روند افزایشی دارد. با توجه به شکل‌های ۷ و ۸ از آن‌جا که طول پره ثابت است، با کاهش طول گام در یک رینولدز مشخص سیال بیشتری به سمت دیواره لوله هدایت می‌شود و در نتیجه تبادل حرارتی بهتری صورت می‌گیرد؛ بنابراین با کاهش طول گام، عدد نسلت افزایش می‌یابد. از طرفی در سرعت‌های بالا به دلیل اختلاط بیشتر سیال نزدیک دیواره لوله و سیال وسط لوله مبدل حرارتی آبگرمکن، اختلاف مربوط به عدد نسلت در طول گام‌های مختلف مشخص‌تر است.

برای ارزیابی مقادیر محاسبه شده برای لوله‌های ساده، اطلاعات به دست آمده با نتایج به دست آمده از رابطه‌های مشهور ضریب اصطکاک و عدد نسلت مقایسه شده‌اند (شکل‌های ۶ و ۷). نتایج محاسبه شده برای اعداد نسلت و ضریب اصطکاک درون لوله با روابط مشهور مقایسه شده که در ادامه تشریح شده است: رابطه‌ی ضریب اصطکاک پتخوف:

[۱۱] ۲۵

$$f = (0,79 \ln Re_D - 1,64)^{-2} \quad (7)$$

$$3000 < Re_D < 5 \times 10^6$$

رابطه‌ی عدد نسلت گنیلینسکی:

$$Nu_D = \frac{\left(\frac{f}{\lambda}\right)(Re_D - 1000)Pr}{1 + 12/\left(\frac{f}{\lambda}\right)^{1/4}(Pr^{1/4} - 1)} \quad (8)$$

$$0.5 < Pr < 2000$$

$$3000 < Re_D < 5 \times 10^6$$

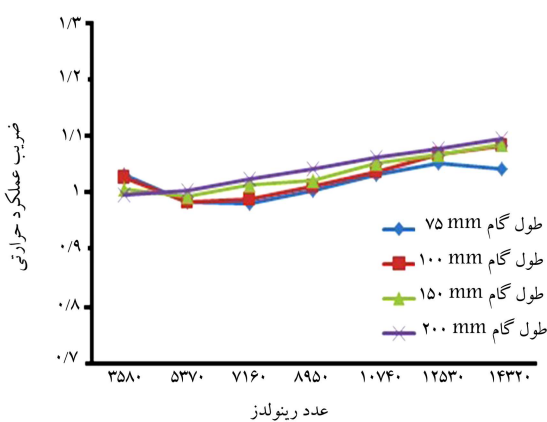
در روابط فوق  $f$  ضریب اصطکاک،  $Re$  عدد رینولدز،  $Pr$  عدد پراتل و  $Nu$  عدد نسلت مربوط به سیال درون لوله است. استفاده از روش جایگذاری درون‌لوله‌ی علاوه بر تأثیری که بر نیخ انتقال حرارت دارد، سبب افزایش افت فشار و همچنین توان پمپ می‌شود، پس برای ارزیابی عملکرد درون‌لوله‌ی ابتدا باید در قدرت پمپاز یکسان عدد نسلت و ضریب اصطکاک مربوط به مبدل حرارتی ساده و مبدل حرارتی مجهز به درون‌لوله‌ی را به دست آورد و سپس با بهره‌گیری از پارامتر «ضریب عملکرد حرارتی» (معادله‌ی ۹) به نتیجه رسید:

$$\eta = \frac{\frac{Nu_r}{Nu_s}}{\left(\frac{f_r}{f_s}\right)^{\frac{1}{4}}} \quad (9)$$

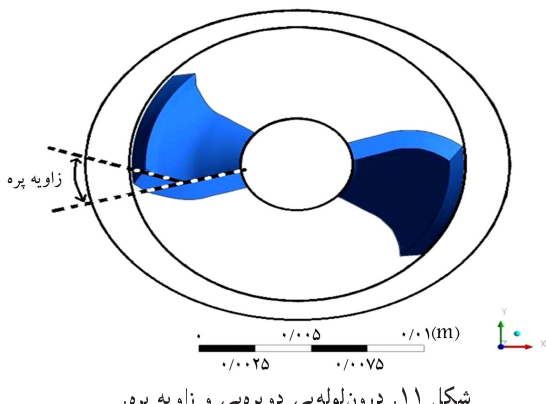
با توجه به شکل‌های ۵ و ۶، نتایج مربوط به لوله‌ی مارپیچ ساده در مقایسه با روابط نظری گنیلینسکی و فیلوننکو اختلاف مشخصی دارند. از آنجا که روابط گنیلینسکی و پتخوف برای لوله‌ی ساده و بدون خم کاربرد دارند می‌توان میزان اختلاف در جواب‌ها را به دلیل وجود سه خم ۱۸۰ درجه در هندسه‌ی لوله‌ی مارپیچ نسبت داد. از طرفی با توجه به نتایجی که از داده‌های آزمایشگاهی به دست آمده و مقایسه‌ی صورت گرفته است، نتایج عددی نسبت به نتایج روابط نظری، به نتایج آزمایشگاهی نزدیک‌تر بوده‌اند. اما با افزایش عدد رینولدز جریان، روند یکسانی در جواب‌های دو حالت نظری و عددی صورت گرفته است.

#### ۱.۴. درون‌لوله‌ی دوپره‌ی با طول گام‌های مختلف

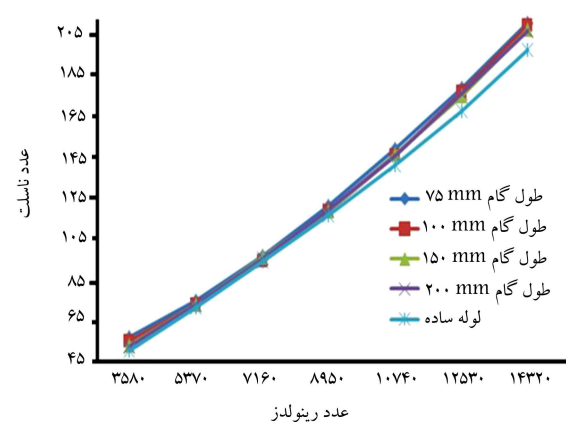
در این مقاله، طول گام پره‌ها را تغییر داده و درون‌لوله‌ی دوپره‌ی در طول گام‌های مختلف ۷۵، ۱۰۰، ۱۵۰ و ۲۰۰ میلی‌متر مورد بررسی قرار گرفته است. تصویری از درون‌لوله‌ی دوپره‌ی در طول گام‌های مختلف در شکل ۷ نشان داده شده است. تغییرات عدد نسلت در اعداد رینولدز مختلف برای مبدل حرارتی آبگرمکن مجهز به درون‌لوله‌ی دوپره‌ی در طول گام‌های مختلف در شکل ۸ نشان داده شده است. چنان که مشاهده می‌شود با افزایش عدد رینولدز برای همه درون‌لوله‌ی‌ها با طول گام‌های مختلف، عدد نسلت افزایش می‌یابد. عدد نسلت از ۳ تا ۱۲ درصد روند افزایشی داشته است. افزایش عدد نسلت در جریان با اعداد رینولدز بالا مقدار بیشتری دارد. برای محدوده‌ی رینولدز بررسی شده، بیشترین درصد افزایش عدد نسلت در طول گام ۷۵ میلی‌متر به مقدار متوسط ۵/۹۸ درصد بوده است. همچنین در یک



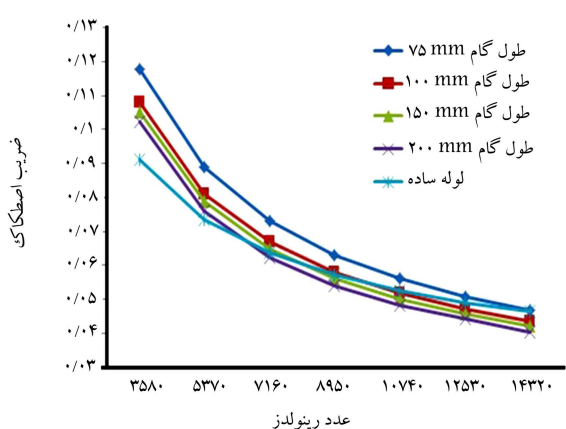
شکل ۷. نمودار ضریب عملکرد حرارتی در اعداد رینولدز مختلف برای لوله‌ی مارپیچ آبگرمکن مجهز به درون‌لوله‌ی دوپره‌ی در طول گام‌های مختلف.



شکل ۸. درون‌لوله‌ی دوپره‌ی و زاویه پره.



شکل ۸. نمودار عدد ناسلت در اعداد رینولدز مختلف برای لوله‌ی مارپیچ آبگرمکن مجهز به درون‌لوله‌ی دوپره‌ی در طول گام‌های مختلف.



شکل ۹. نمودار ضریب اصطکاک در اعداد رینولدز مختلف برای لوله‌ی مارپیچ آبگرمکن مجهز به درون‌لوله‌ی دوپره‌ی در طول گام‌های مختلف.

در شکل ۹ نمودار ضریب اصطکاک درون‌لوله‌ی دوپره‌ی نشان داده شده است. در طول گام‌های مختلف با افزایش عدد رینولدز، ضریب اصطکاک کاهش یافته است. در اعداد رینولدز مختلف، بیشترین ضریب اصطکاک مربوط به درون‌لوله‌ی با طول گام ۷۵ میلی‌متر بوده است. در یک عدد رینولدز مشخص، با کاهش طول گام، ضریب اصطکاک افزایش می‌یابد. در اعداد رینولدز بالا میران اختلاف ضریب اصطکاک لوله‌ی ساده با لوله‌ی مجهز به درون‌لوله‌ی کمتر شده است. با کاهش طول گام پره میران انسداد مجرای جریان بیشتر می‌شود و بنابراین ضریب اصطکاک افزایش می‌یابد؛ در اعداد رینولدز پایین، میران این افزایش بیشتر است. با افزایش عدد رینولدز سرعت سیال افزایش می‌یابد و چرشش پره و هدایت سیال به سمت دهانه خروجی بیشتر شده است، بنابراین در همه طول گام‌ها با افزایش عدد رینولدز، ضریب اصطکاک کاهش می‌یابد.

نمودار ضریب عملکرد حرارتی مبدل حرارتی آبگرمکن در اعداد رینولدز مختلف برای حالت مجهز به درون‌لوله‌ی دوپره‌ی در طول گام‌های مختلف در شکل ۱۰ نشان داده شده است. چنان‌که مشاهده می‌شود ضریب عملکرد حرارتی برای درون‌لوله‌ی دوپره‌ی با طول گام‌های مختلف مقداری بین  $0.98 \times 10^0$  و  $1.084 \times 10^1$  است. متوسط ضریب عملکرد حرارتی برای لوله‌ی مارپیچ آبگرمکن مجهز به درون‌لوله‌ی دوپره‌ی در طول گام‌های ۷۵، ۱۰۰، ۱۵۰ و  $200$  میلی‌متر به ترتیب  $1.0177$ ،  $1.033$ ،  $1.042$  و  $1.033$  بوده است.

## ۲.۴. درون‌لوله‌ی دوپره‌ی با زاویه‌ی پره‌های مختلف

برای ایجاد تغییر در سطح مقاطع، ابتدا زاویه‌ی پره مربوط به درون‌لوله‌ی دوپره‌ی با طول گام  $200$  میلی‌متر را تغییر داده و تأثیرش بر عملکرد آبگرمکن ارزیابی شده است. در شکل ۱۱ زاویه‌ی پره درون‌لوله‌ی دوپره‌ی نشان داده شده است. زاویه‌ی است. در شکل ۱۱ زاویه‌ی پره درون‌لوله‌ی دوپره‌ی نشان داده شده است. زاویه‌ی تند بین دو خط مماس بر قسمت‌های صاف و قوس پره را، زاویه‌ی پره می‌نامیم. درون‌لوله‌ی های دوپره‌ی در سه زاویه‌ی پره  $40^\circ$ ،  $55^\circ$  و  $70^\circ$  درجه مقایسه شده‌اند. در شکل ۱۲ تغییرات عدد ناسلت با تغییر زاویه‌ی پره نشان داده شده است.

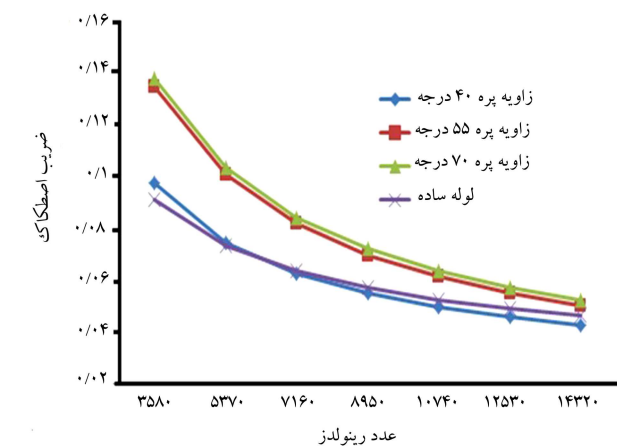
ضریب عملکرد حرارتی مبدل حرارتی آبگرمکن با تغییر در زاویه پره درون لوله‌یی در شکل ۱۴ نشان داده شده است. برای زاویه پره‌های ۵۵ و ۷۰ درجه، همواره ضریب عملکرد بیش از ۱/۱۵ است که با افزایش عدد رینولدز کاهشی داشته‌اند، اما برای زاویه‌یی پره ۴۰ درجه، با افزایش عدد رینولدز ضریب عملکرد افزایش یافته است. میانگین ضریب عملکرد حرارتی برای زاویه پره‌های ۴۰ و ۵۵ درجه به ترتیب برابر ۱/۱۹۴، ۱/۲۱۵، ۱/۰۰۸ و ۱/۰۳۳ بوده است.

## ۵. نتیجه‌گیری

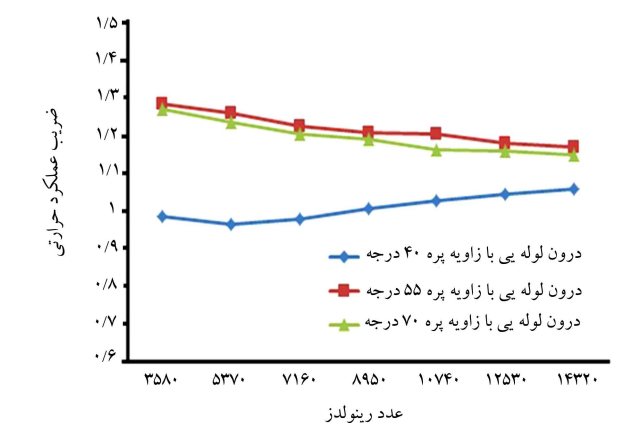
در تحقیق حاضر عدد ناسلت برای لوله با مشخصه‌های مختلف درون لوله‌یی در اعداد رینولدز ۳۵۸۰ تا ۱۴۳۲۰ بررسی شده است. متوسط ضریب عملکرد حرارتی برای آبگرمکن مجهر ب درون لوله‌یی دوپره‌یی در طول گام‌های ۷۵، ۱۰۰، ۱۵۰ و ۲۰۰ به ترتیب برابر ۱/۰۲۷، ۱/۰۲۴ و ۱/۰۴۲ بوده است. به ترتیب افزایش طول گام، ضریب عملکرد حرارتی افزایش داشته است. میانگین ضریب عملکرد حرارتی برای زاویه پره‌های ۴۰، ۵۵ و ۷۰ درجه به ترتیب برابر ۱/۰۰۸، ۱/۰۱۵ و ۱/۰۱۶ بوده است. بهترین درون لوله‌ییها بر اساس ضریب عملکرد حرارتی به ترتیب عبارت است از: درون لوله‌یی دوپره‌یی با زاویه‌یی پره ۵۵ و ۷۰ درجه، درون لوله‌یی دوپره‌یی با طول گام ۲۰۰. بنابراین استفاده از مشخصه‌های مختلف درون لوله‌یی با زاویه‌یی دوپره‌یی بهترین روش غیرفعال می‌تواند باعث افزایش انتقال حرارت چشمگیری در مبدل‌های حرارتی شود. از طرفی بیشتر شدن سرعت سیال در جریان‌های مربوط به مبدل‌های حرارتی مجهر ب درون لوله‌یی دوپره‌یی دوباره باعث کاهش اصطکاک و جلاوگری از آنیاشته شدن رسوب می‌شود. از این روش می‌توان در مبدل‌های حرارتی دیگر نیز استفاده کرد.

## فهرست علائم

- $c_p$ : گرمای ویژه در فشار ثابت ( $\frac{KJ}{kgK}$ )
- $D_{eq}$ : قطر هیدرولیکی معادل لوله (m)
- $f$ : ضریب اصطکاک، بدون بعد
- $h$ : ضریب انتقال حرارت سیال درون لوله ( $W_m^{-1} K^{-1}$ )
- $Nu$ : عدد ناسلت، بدون بعد
- $Pr$ : عدد پرانتل، بدون بعد
- $Re$ : عدد رینولدز، بدون بعد
- $\bar{u}$ : سرعت متوسط دامنه سیال ( $ms^{-1}$ )
- $\lambda$ : ضریب رسانش ( $W m^{-1} K^{-1}$ )
- $\rho$ : چگالی آب درون لوله ( $kg/m^3$ )
- $\eta$ : ضریب عملکرد حرارتی، بدون بعد
- $\tau_{wall}$ : تنش برشی متوسط روی نواحی دیوار (Pa)
- $\mu$ : ویسکوزیته دینامیکی سیال (Pa.s)



شکل ۱۳. نمودار ضریب اصطکاک در اعداد رینولدز مختلف برای لوله‌یی مارپیچ آبگرمکن مجهر ب درون لوله‌یی دوپره‌یی با زاویه پره‌های مختلف.



شکل ۱۴. نمودار ضریب عملکرد حرارتی در اعداد رینولدز مختلف برای لوله‌یی مارپیچ آبگرمکن مجهر ب درون لوله‌یی دوپره‌یی با زاویه پره‌های مختلف.

در اعداد رینولدز پایین، نسبت عدد ناسلت مجهر ب درون لوله‌یی به عدد ناسلت لوله‌یی ساده، مقدار بیشتری نسبت به اعداد رینولدز بالا دارد. برای مثال در زاویه پره ۵۵ درجه، نسبت عدد ناسلت از رینولدز ۳۵۸۰ تا ۱/۱۹۴ از ۱/۱۴۳۲۰ در روند کاهشی دارد. درون لوله‌یی‌های با زاویه پره ۵۵ و ۷۰ درجه، عملکرد بهتری در افزایش عدد ناسلت از خود نشان داده‌اند. بیشترین افزایش عدد ناسلت مربوط به زاویه ۵۵ درجه و به میزان متوسط ۳۰/۸ درصد بوده است. در اعداد رینولدز پایین به دلیل کم بودن سرعت جریان، فرست تبادل حرارتی برای سیال با دیواره لوله‌یی مبدل حرارتی آبگرمکن بیشتر است. بنابراین میزان افزایش عدد ناسلت نسبت به لوله‌یی ساده در اعداد رینولدز پایین، بیشتر از اعداد رینولدز بالا است.

در شکل ۱۳ تغییرات ضریب اصطکاک با عدد رینولدز برای آبگرمکن و تأثیر زاویه‌یی پره‌های مختلف درون لوله‌یی بر جریان سیال نشان داده شده است. برای همه حالت‌ها ضریب اصطکاک با افزایش عدد رینولدز کاهش می‌یابد. نسبت ضریب اصطکاک در حالت مجهر ب درون لوله‌یی به حالت لوله‌یی ساده، در اعداد رینولدز پایین بیشتر است و با افزایش عدد رینولدز، این نسبت کاهش می‌یابد. بیشترین ضریب اصطکاک مربوط به درون لوله‌یی با زاویه‌یی پره ۵۵ درجه بوده است. درون لوله‌یی‌های با زاویه‌یی پره‌های مختلف باعث چرخشی شدن جریان می‌شوند و در اعداد رینولدز بالا سرعت پره و سیال افزایش می‌یابد و بنابراین باعث کاهش ضریب اصطکاک می‌شوند.

زیرنویس‌ها

: قطر معادل  $D$

: معادل  $eq$

: مربوط به لوله‌ی ساده  $s$

: مربوط به لوله‌ی مجهرز به مغشوش‌کننده  $r$

## بالانویس‌ها

- مقدار متوسط

## پابلوشت‌ها

1. active techniques
2. passive techniques
3. Yang
4. Feng-xiang
5. Zhang
6. left-right helical blade rotors
7. helical blade rotors with grooves
8. Jiang
9. spiral slot rotor
10. low flow resistance rotor
11.  $k - \varepsilon$
12. renormalization group
13. fluent
14. spiral ladder rotor
15. rotor-assembled strands
16. ANSYS CFX
17. plastic polycarbonate
18. Simo wong
19. shear stress transport
20. high resolution
21. inlet
22. outlet
23. hexahedron
24. tetrahedron
25. Petukhov
26. Gnielinski

## منابع (References)

1. Cincinnati, OH., Manglik, R.M. and Fang., P. "Thermal-fluids and thermal processing", *Laboratory Report No. TFTPL-EB01*, University of Cincinnati, Cincinnati, Ohio (2002).
2. Yang, W.M., Ding, Y.M., Geng, L.B. and et al. "Rotor-assembled automatic cleaning and heat transfer enhancement device", CN Patent, Chinese, No200520127121.9, (2005).
3. Feng-Xiang, L., Yu-Mei, D., Chang-Feng. and et al. "Laboratory investigation and commercial test for rotors-assembled strand applied in smooth tube", *Experimental Thermal and Fluid Science*, **33**, April, pp. 1-9 (2008).
4. Zhang, Z., Ding, Y., Guan, C. and et al."Heat transfer enhancement in double-pipe heat exchanger by means of rotor-assembled strands", *Chemical Engineering and Processing*, **60**, June, pp. 26-33 (2012).
5. Zhang, Z., Yan, H., Yang, W. and et al."Heat transfer enhancement in the tube fitted with Left-Right helical blade rotors", *Applied Thermal Engineering*, **55**, March, pp. 95-101 (2013).
6. Zhang, Z., Yang, W., Guan, C. and et al."Heat transfer enhancement in a tube fitted with helical blade rotors with grooves", *Experimental Thermal and Fluid Science*, **48**, February, pp. 169-176 (2013).
7. Jiang, P., Yang, W., Yan, H. and et al. "Performance assessment in a tube with rotor-assembled strands mixed by spiral slot rotor and low flow resistance rotor", *Applied Thermal Engineering*, **52**, November, pp. 69-76 (2013).
8. Zhang, Z., Yang, W., Guan, C. and et al."Numerical study on thermo-hydraulic characteristics of turbulent flow in a circular tube fitted with helical blade rotors", *International Journal of Heat and Mass Transfer*, **60**, January, pp. 603-611 (2013).
9. Yang, W., Jiang, P., Yan, H. and et al."Performance assessment in a tube with rotor-assembled strands mixed by spiral ladder rotor and low flow resistance rotor", *International Journal of Heat and Mass Transfer*, **84**, January, pp. 319-326 (2015).
10. Zhang, C., Wang, D., Ren, K. and et al. "A comparative review of self-rotating and stationary twisted tape inserts in heat exchanger", *Renewable and Sustainable Energy Reviews*, **53**, August, pp. 433-449 (2016).
11. Incropera, F.P., Dewett, D.P., Bergman, T.L. and et al. "Fundamentals of heat and mass transfer", *John-Wiley & Sons*, 7th ed. (2006).